

66 9.14.018.292 : 539.551 : 620.178.746.2

S 558

(226) 片側切欠引張型破壊非性試験についての2, 3の考察  
(超強力鋼の非性に関する研究-I)

7/226

金属材料技術研究所

河部義和 金尾正雄

中野恵司

緒言

超強力鋼は高強度を確保する必要上多少とも延性、非性を犠牲にしており、そのため伸び、絞り、衝撃特性などで非性を評価するのは困難である。さらに切欠感受性が大きく、微少な欠陥などの応力集中部から低荷重下で不安定破壊を生じやすい。したがって、破壊非性値は超強力鋼の定量的な非性評価法として非常に秀れている。著者らは超強力鋼の中でも非性が高い18Niマルエーシ鋼を取りあげ、破壊非性における微量化学成分、製造法、熱処理影響を系統的に調べ、さらに引張諸性質、微細組織、および破断面の様相との関連性を把握し、非性改善の基礎資料を得たいと考えている。そのため、まず平面ひずみ破壊非性  $K_{Ic}$  を求める片側切欠引張型破壊非性試験について 2, 3 検討した。

試料および実験方法 試料はすべて高純度原材料を用い、真空高周波誘導炉で 7 kg 熔製した。予備実験には 18Ni250 マルエーシ鋼を用いた。1200°C に加熱し、100 mm 幅、6 mm 厚さの板材に圧延し、820°C × 1 hr → 空冷の溶体化処理を行ない、図 1 の試験片に加工した。機械加工切欠の先端より、電磁共振型疲労試験を用い、引張-引張の荷重下でクラックを発生させ、切欠クラックの全長を幅の 1/3 になるように選定した。この試験片を 10 トンのインストロン試験機を用い 0.3 mm/min で負荷し、クラックの進展を電位差法で測定した。その測定系を図 2 に示す。試験温度はすべて 20°C である。 $K_{Ic}$  の計算には次式を用いた。

$$K_{Ic} = \frac{P\Delta a}{\pi w} [1.99 - 0.41(\%w) + 18.70(\%w)^2 - 38.48(\%w)^3 + 53.85(\%w)^4]$$

P: 荷重, a: 切欠クラック長さ, w: 板幅, t: 板厚

結果 試験片形状の影響  $Pop_{in}$  現象を利用して  $K_{Ic}$  を求めるには、中央、両側、片側切欠の試験片がある。片側切欠試験片では断面に net stress の他、荷重偏心による曲げ応力が加わるため、他の試験片より小容量の試験機で負荷できる利点がある。また図 1 の (A) と (B) のように切欠部の形状を変化しても  $K_{Ic}$  に有意差は生じなかった。

板厚の影響 試験片の  $K_{Ic}$  計測能力は板厚に大きく支配される。

Brown らは、 $2.5 \times (\frac{K_{Ic}}{t})^2$ 、Cottrell らは、 $10(\frac{K_{Ic}}{t})^2$  以上の板厚が必要であると述べている。しかし、後者の板厚より小さい場合でも板厚中央には flat の破面が生じ、さらに平面ひずみ状態で板厚中央まで塑性域が達しない臨界板厚  $t_c = (\frac{K_{Ic}}{t})^{2/3}$  であるため、 $Pop_{in}$  の計測に十分注意すれば小さい板厚でも  $K_{Ic}$  が求められる可能性があると思われた。

しかし、実際の  $Pop_{in}$  の計測状況とクラック部断面における公称応力  $\sigma_{nom} = \frac{P}{\pi(w-a)} + \frac{3Pa}{\pi(w-a)^2}$  が何よりも小さいかという 2 点を検討すると、正確な  $K_{Ic}$  を求めるには少なくとも  $t = \frac{2\pi}{3}(\frac{K_{Ic}}{t})^{2/3}$  の板厚が必要であった。

疲労クラックの挿入条件 平均応力、疲労時間は  $K_{Ic}$  に影響しなかった。溶体化処理状態または時効後には疲労クラックを挿入しても有意差は生じなかった。しかし、時効後にクラックを挿入した方が、クラックは引張軸に垂直に挿入されやすくなる。結局、正確な  $K_{Ic}$  を求めるには、材料の強度水準と板厚とがもともと重要である。

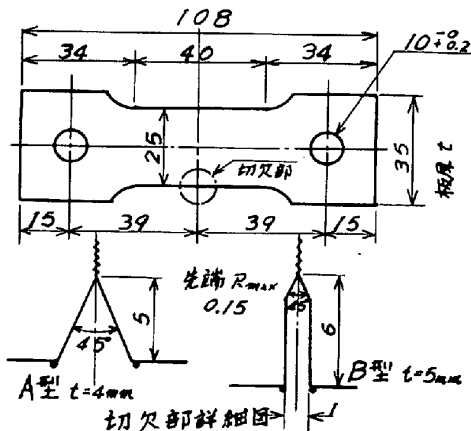


図 1 破壊非性試験片

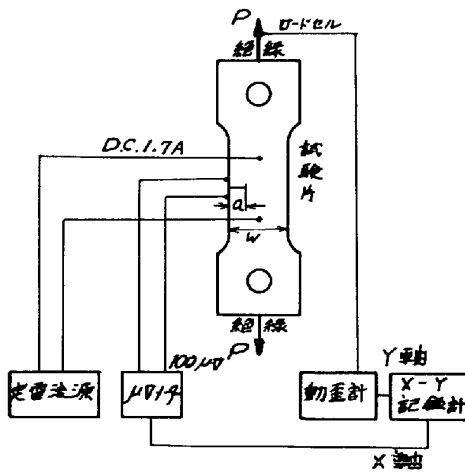


図 2 測定系のブロックダイヤグラム